

Instituto de Física

Universidade de São Paulo

Fenômeno de difusão em espaços de fases mistos

Matheus Palmero Silva

Disciplina: Caos em Sistemas Dissipativos

Professor: Iberê Luiz Caldas

palmero@usp.br

04 de junho de 2018

- I. Introdução
- II. Descrição dos modelos
- III. Objetivos
- IV. Descrição da teoria
- V. Resultados
- VI. Considerações finais

I. Introdução

Introdução histórica

- O estudo de sistemas dinâmicos têm como motivação **modelar fenômenos naturais**.
- Modelar a natureza, **exatamente como ela é**, é um **grande desafio**. Quanto mais perto chegamos de um **modelo perfeito**, mais **complexa** a matemática se torna.
- Poincaré foi um dos primeiros a notar que a **sensibilidade das condições iniciais** podem afetar drasticamente a dinâmica de um sistema complexo, conduzindo a um **comportamento caótico [1]**.
- Este estudo está em constante desenvolvimento, especialmente hoje em dia que, com o avanço tecnológico, **métodos e simulações numéricas** são facilmente implementados.

Difusão

- É um processo amplamente estudado, observado em **muitas áreas da ciência**.
- Um processo que ocorre essencialmente por um **movimento espontâneo** de algum observável físico, inicialmente concentrado em uma região específica.
- Na física é geralmente associado a **processos termodinâmicos [2]** e a **movimentação de partículas [3]**.



Figura 1: Exemplo intuitivo de um processo de difusão.

Difusão em sistemas caóticos

- Sistemas **fortemente caóticos** frequentemente exibem um **comportamento difusivo normal**, equivalente à um movimento Browniano no espaço de fases.
- Em espaços de fases mistos, uma condição inicial evoluída ao redor de **estruturas estáveis** pode apresentar um **comportamento difusivo muito complicado [4]**.
- Estruturas de estabilidade **influênciam muito** a dinâmica, dando origem a **efeitos anômalos**.

A equação da difusão

- É uma equação diferencial parcial em relação ao tempo e espaço, qual descreve **flutuações na densidade** de uma distribuição sofrendo difusão. Em uma dimensão é escrita como

$$\frac{\partial \rho(x, t)}{\partial t} = D \frac{\partial^2 \rho(x, t)}{\partial x^2}, \quad (1)$$

onde $\rho(x, t)$ é a **densidade** de distribuição e D o **coeficiente de difusão**.

- Considerando uma distribuição inicial $\rho(x, 0) = \delta(x - x_0)$, a **solução fundamental** para a equação da difusão é dada por

$$\rho(x, t) = \frac{1}{\sqrt{4\pi Dt}} e^{\frac{-(x-x_0)^2}{4Dt}}. \quad (2)$$

- Em termos do **valor médio** μ e da **variância** σ^2

$$\rho(x; \mu, \sigma^2) = \frac{1}{\sqrt{2\pi\sigma^2}} e^{\frac{-(x-\mu)^2}{2\sigma^2}}. \quad (3)$$

II. Descrição dos modelos

O modelo Fermi-Ulam

O mapeamento para a versão simplificada [5] do modelo é o seguinte

$$\begin{cases} V_{n+1} = |V_n - 2\varepsilon \sin(\phi_{n+1})| \\ \phi_{n+1} = [\phi_n + \frac{2}{V_n}] \text{ mod}(2\pi) \end{cases} . \quad (4)$$

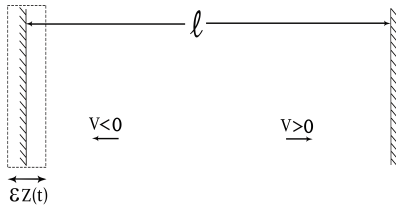


Figura 2: Ilustração do modelo Fermi-Ulam, onde ℓ é a distância entre as duas paredes, os vetores denotam o sinal da velocidade da partícula e, $Z(t)$ é escolhido como $\cos(\omega t)$, com ω a frequência de oscilação.

O modelo *bouncer*

O mapeamento para a versão simplificada do modelo é o seguinte

$$\begin{cases} V_{n+1} = |V_n - 2\varepsilon \sin(\phi_{n+1})| \\ \phi_{n+1} = [\phi_n + 2V_n] \bmod(2\pi) \end{cases} . \quad (5)$$

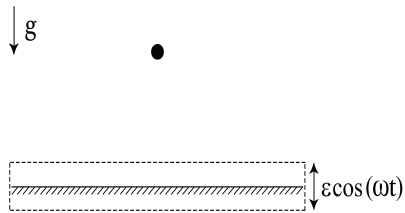


Figura 3: Ilustração do modelo *bouncer*, onde g representa a aceleração gravitacional à qual a partícula está submetida e a função $\varepsilon \cos(\omega t)$ descreve a posição da parede móvel, com ε e ω respectivamente a amplitude e a frequência de oscilação.

IV. Objetivos

$\langle V \rangle$ - Modelo Fermi-Ulam

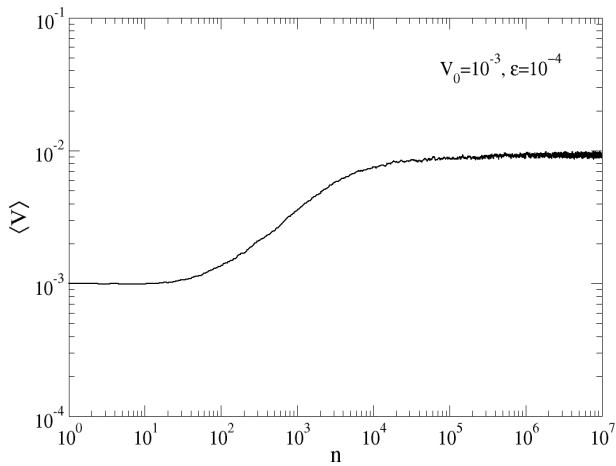


Figura 4: Comportamento da velocidade média em função do número de iterações para o modelo Fermi-Ulam.

$\langle V \rangle$ - Modelo *bouncer*

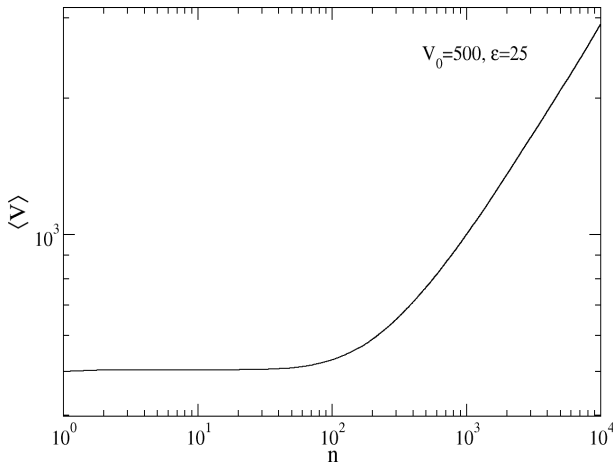


Figura 5: Comportamento da velocidade média em função do número de iterações para o modelo bouncer.

Objetivos principais

- Introduzir uma nova **descrição analítica**, baseada na solução da equação da difusão, para **explicar o comportamento** da variável ação durante a evolução da dinâmica.
- Existem **mudanças críticas** nas velocidades médias das partículas, isso deve ser explicado por uma **função bem determinada**.
- As previsões analíticas **devem concordar** com o que já foi **proposto fenomenologicamente** na literatura [6, 7] para os modelos em questão.

V. Descrição da teoria

Difusão no espaço de fases

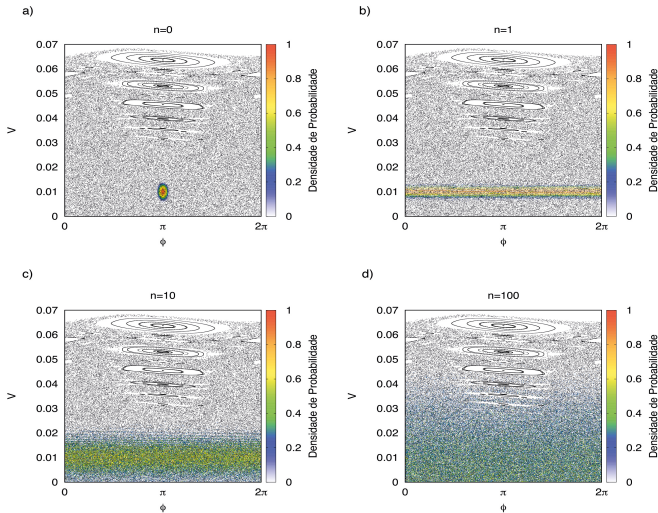


Figura 6: Processo de difusão no espaço de fases do modelo Fermi-Ulam. A escala de cor mostra o quanto provável é encontrar uma órbita naquela área do espaço de fases.

A equação da difusão com condições de contorno

- Problemas físicos normalmente apresentam **comportamentos diferentes nas proximidades das fronteiras**, por isso, condições de contorno devem ser levadas em consideração.
- Um **exemplo intuitivo** de condição de contorno é a **condição de contorno de Neumann**.

$$\frac{\partial \rho(0, t)}{\partial x} = \frac{\partial \rho(L, t)}{\partial x} = 0, \forall t > 0, \quad (6)$$

onde $x \in [0, L]$, com $x = 0$ e $x = L$ as posições das fronteiras.

- Para resolver esse problema é interessante utilizar o **método das imagens**.

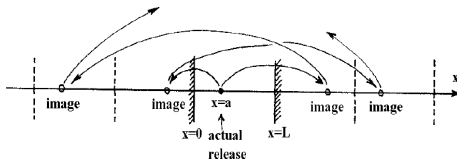


Figura 7: Ilustração do método das imagens para uma difusão localizada. (Figura retirada do livro *The Mathematics of Diffusion* de Jhon Crank).

A solução

Considerando a distribuição inicial $\rho(x, 0) = \delta(x - x_0)$, a solução é a seguinte

$$\rho(x; \mu, \sigma^2) = \frac{1}{\sqrt{2\pi\sigma^2}} \sum_{m=-\infty}^{\infty} \left[\exp\left(\frac{-(x-2mL-\mu)^2}{2\sigma^2}\right) + \exp\left(\frac{-(x-2mL+\mu)^2}{2\sigma^2}\right) \right]. \quad (7)$$

Entretanto, esta solução não está normalizada para o intervalo $x \in [0, L]$. É necessário que $A \int_0^L \rho(x; \mu, \sigma^2) dx = 1$, com A uma constante de normalização.

Então, a solução para equação da difusão com condições de contorno de Neumann, é

$$\rho(x; \mu, \sigma^2) = \frac{1}{2\sqrt{2\pi\sigma^2}} \frac{\sum_n \exp\left(\frac{-(x-n-\mu)^2}{2\sigma^2}\right) + \exp\left(\frac{-(x-n+\mu)^2}{2\sigma^2}\right)}{\operatorname{erf}\left(\frac{\mu-n}{\sqrt{2\sigma^2}}\right) - \operatorname{erf}\left(\frac{\mu-L-n}{\sqrt{2\sigma^2}}\right) - \operatorname{erf}\left(\frac{\mu+n}{\sqrt{2\sigma^2}}\right) + \operatorname{erf}\left(\frac{\mu+L+n}{\sqrt{2\sigma^2}}\right)}. \quad (8)$$

Conexão com os modelos

A difusão que estamos interessados ocorre no espaço de fases. Especificamente no eixo da variável ação, no caso, *velocidade das partículas*.

Para o modelo Fermi-Ulam, a difusão ocorre em uma **região finita** $[0, V_{FISC}]$. V_{FISC} é a posição da **primeira curva invariante do tipo spanning**, a qual se comporta analogamente a uma **fronteira**. A posição da curva é $V_{FISC} \approx 2\sqrt{\epsilon}$ [8].

Para o modelo *bouncer*, a difusão ocorre em uma **região semi infinita**, conforme os seguintes espaço de fases

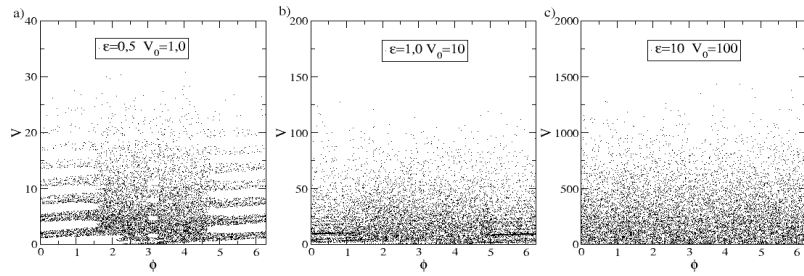


Figura 8: Espaços de fases para diferentes parâmetros do modelo bouncer.

Análise discreta → Análise contínua

Consideramos que a fase ϕ seja uniformemente distribuída. Assim a difusão ocorre no eixo das velocidades, por isso analisamos as expressões de V_{n+1} dos modelos. Basicamente a expressão é $V_{n+1} = V_n - 2\varepsilon \sin(\phi_{n+1})$.

Por definição $\mu \equiv \langle V \rangle$ e $\sigma^2 \equiv \langle V^2 \rangle - \langle V \rangle^2$. Então, $\mu_{n+1} = \mu_n = \mu_0 = V_0$ e $\sigma_{n+1}^2 = \langle V_{n+1}^2 \rangle - \langle V_{n+1} \rangle^2 = \langle V_n^2 \rangle + 2\varepsilon^2 - \langle V_n \rangle^2 \rightarrow \sigma_{n+1}^2 = \sigma_n^2 + 2\varepsilon^2$.

Mas, pela teoria de equações de diferença [9] que afirma que, para suficiente iterações, é possível escrever

$$\sigma_{n+1}^2 - \sigma_n^2 = \frac{d\sigma^2}{dn} \rightarrow \sigma^2(n) = \sigma_0^2 + 2\varepsilon^2 n . \quad (9)$$

A função $\langle V \rangle$ - Modelo Fermi-Ulam

Estamos interessados no **comportamento da velocidade média** e, por definição $\langle V \rangle = \int_0^{V_{FISC}} V \rho dx$. Utilizando a **densidade** ρ obtida na Eq.(8), a **função** que estamos procurando é a seguinte

$$\langle V \rangle = \frac{V_0}{2} \frac{\sum_j \frac{1}{z\sqrt{\pi}} (\Delta^{(1)} \exp + \Delta^{(2)} \exp) + \frac{1}{V_0} [(j - V_0) \Delta^{(1)} \operatorname{erf} + (j + V_0) \Delta^{(2)} \operatorname{erf}]}{\sum_j \operatorname{erf}(z - j) - \operatorname{erf}(z - \tilde{v} - j) - \operatorname{erf}(z + j) + \operatorname{erf}(z + \tilde{v} + j)}, \quad (10)$$

definindo a variável auxiliar $z = \frac{\mu}{\sqrt{2\sigma^2}}$, novo índice da somatória j , novo parâmetro $\tilde{v} = \frac{L}{\sqrt{2\sigma^2}} = \frac{V_{FISC}}{\sqrt{2\sigma^2}}$ e, com

$$\begin{aligned}\Delta^{(1)} \exp &= e^{-(z-j)^2} - e^{-(z-j+\tilde{v})^2}, \\ \Delta^{(2)} \exp &= e^{-(z+j)^2} - e^{-(z+j-\tilde{v})^2}, \\ \Delta^{(1)} \operatorname{erf} &= \operatorname{erf}(z - j + \tilde{v}) - \operatorname{erf}(z - j), \\ \Delta^{(2)} \operatorname{erf} &= \operatorname{erf}(z + j) - \operatorname{erf}(z + j + \tilde{v}).\end{aligned}$$

A função $\langle V \rangle$ - Modelo *bouncer*

Utilizando resultados do modelo Fermi-Ulam, descrevemos o comportamento da velocidade média das partículas no modelo *bouncer* quando consideramos a fronteira V_{FISC} inexistente.

Assim, a solução da equação da difusão é mais simples, conhecida como *Folded Normal Distribution* [10].

$$\rho(x; \mu, \sigma^2) = \frac{1}{\sqrt{2\pi\sigma^2}} \left[\exp\left(\frac{-(x-\mu)^2}{2\sigma^2}\right) + \exp\left(\frac{-(x+\mu)^2}{2\sigma^2}\right) \right]. \quad (11)$$

Calculando $\langle V \rangle = \int_0^\infty V \rho(V; \mu, \sigma^2) dV$, baseada nessa distribuição, temos que

$$\langle V \rangle = V_0 \left(\frac{1}{z\sqrt{\pi}} e^{-z^2} + \operatorname{erf}(z) \right), \quad (12)$$

com $z = z(n) = \frac{\mu}{\sqrt{2\sigma^2}}$.

V. Resultados

Predições analíticas - Modelo Fermi-Ulam

Após uma análise cuidadosa da Eq.(10), notamos que o **comportamento** $\langle V \rangle$ em função do número de iterações n é **alterado** em dois momentos, primeiro em $z = 1$ e depois em $\tilde{v} = 1$.

-

$$z = 1 \rightarrow \frac{V_0}{2\varepsilon\sqrt{n}} = 1 \rightarrow n = \left(\frac{V_0}{2\varepsilon}\right)^2 \rightarrow n = \frac{V_0^2}{4\varepsilon^2}, \quad (13)$$

mas neste caso, $n = n_x$, marcando o **primeiro crossover**. Assim $n_x = \frac{V_0^2}{4\varepsilon^2}$.

-

$$\tilde{v} = 1 \rightarrow \frac{V_{FISC}}{2\varepsilon\sqrt{n}} = 1 \rightarrow n \approx \left(\frac{2\sqrt{\varepsilon}}{2\varepsilon}\right)^2 \rightarrow n \approx \frac{1}{\varepsilon}, \quad (14)$$

mas agora, $n = n'_x$ marcando o **segundo crossover**. Assim $n'_x \approx \frac{1}{\varepsilon}$.

Tomando o seguinte limite, o qual corresponde ao **platô de saturação**, temos

$$\lim_{\sigma \rightarrow \infty} \langle V \rangle = \lim_{n \rightarrow \infty} \langle V \rangle = \frac{V_{FISC}}{2} \approx \sqrt{\varepsilon}. \quad (15)$$

Abordagem analítica x Simulação numérica

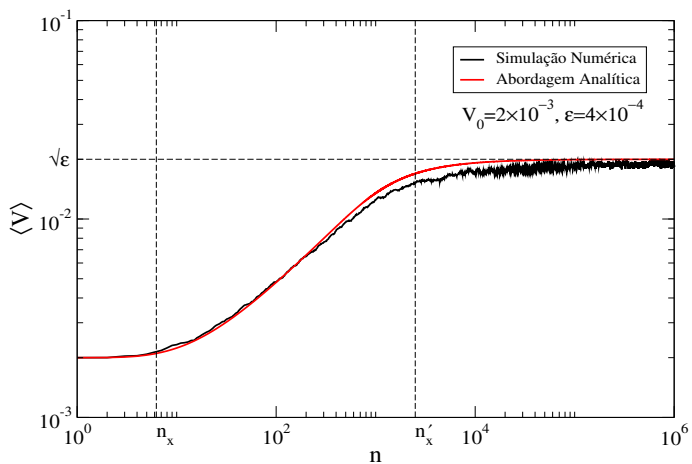


Figura 9: Comparação entre simulação numérica e abordagem analítica para o modelo Fermi-Ulam. Um ensemble de partículas 10^3 foi iterado até 10^6 colisões.

Abordagem analítica x Simulação numérica

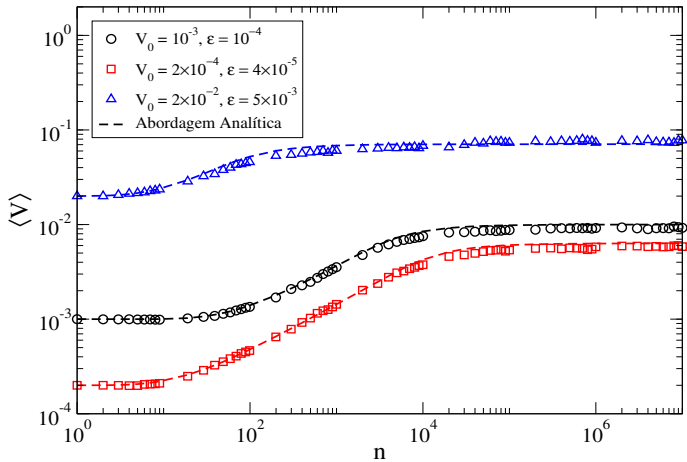


Figura 10: Comparação entre simulação numérica e abordagem analítica para três diferentes V_0 e ϵ . Um ensemble de 10^4 partículas foi iterado até 10^7 colisões.

Predições analíticas - Modelo *bouncer*

Após uma análise da Eq.(12), notamos que o **comportamento** $\langle V \rangle$ em função do número de iterações n é **alterado** somente quando $z = 1$.

$$z = 1 \rightarrow \frac{V_0}{\epsilon^2 n} = 1 \rightarrow V_0^2 = \epsilon^2 n ,$$

mas neste caso $n = n_x$.

Então, temos que o **número de crossover** é calculado por

$$n_x = \frac{V_0^2}{\epsilon^2} . \quad (16)$$

Para o **crescimento** no limite assintótico, expandimos em série em torno de $n = \infty$, obtendo

$$\langle V \rangle = \frac{\epsilon}{\sqrt{\pi}} (n)^{\frac{1}{2}} + \frac{V_0^2}{\epsilon \sqrt{\pi}} (n)^{-\frac{1}{2}} + O(n)^{-\frac{3}{2}} . \quad (17)$$

Abordagem analítica x Simulação numérica

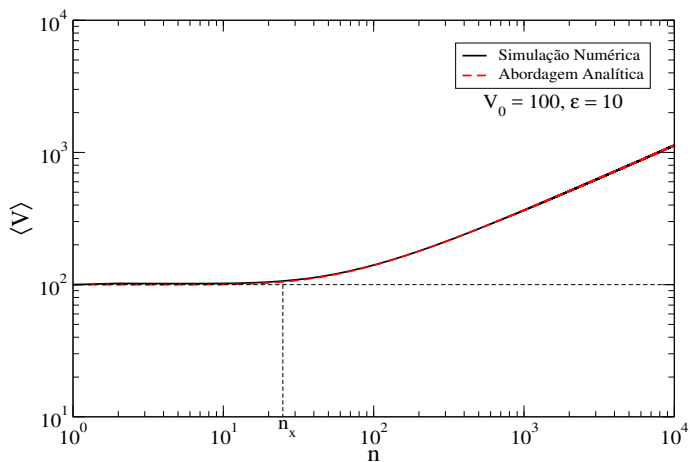


Figura 11: Comparação entre simulação numérica e abordagem analítica para o modelo bouncer. Um ensemble de partículas 10^4 foi iterado até 10^4 colisões.

Abordagem analítica x Simulação numérica

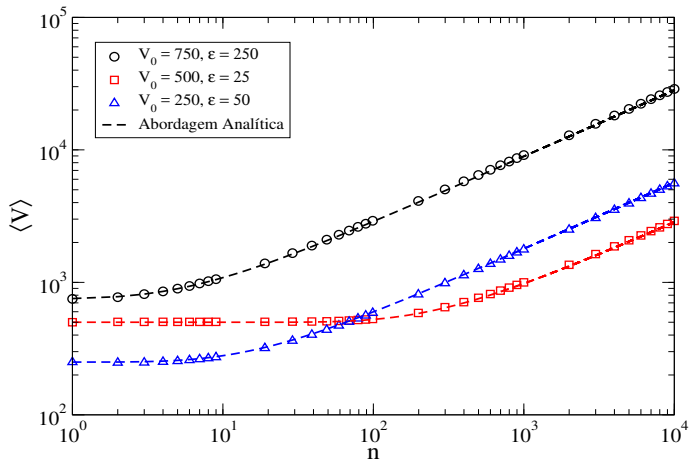


Figura 12: Comparação entre simulação numérica e abordagem analítica para três diferentes V_0 e ϵ . Um ensemble de 10^4 partículas foi iterado até 10^4 colisões.

Confirmações analíticas

- Para o modelo Fermi-Ulam:
 - O **primeiro número de crossover** $n_x \propto \frac{V_0^2}{\epsilon^2}$. Confirmado pela Eq.(13);
 - O **segundo número de crossover** $n'_x \propto \frac{1}{\epsilon}$. Confirmado pela Eq.(14);
 - O **platô de saturação** é proporcional a $\sqrt{\epsilon}$. Confirmado pela Eq.(15).
- Para o modelo *bouncer*:
 - O **número de crossover** $n_x \propto \frac{V_0^2}{\epsilon^2}$. Confirmado pela Eq.(16);
 - O **expoente de crescimento** de $\langle V \rangle$ em relação a n é $\frac{1}{2}$. Confirmado pela Eq.(17).

VII. Considerações finais

Conclusões

- Uma nova abordagem analítica foi proposta, baseada essencialmente na solução da equação da difusão, como uma tentativa de descrever o comportamento difusivo da variável ação no espaço de fases de modelos do acelerador de Fermi.
- As previsões analíticas concordam com o que foi fenomenologicamente proposto tanto para o modelo Fermi-Ulam, quanto para o modelo *bouncer*.
- Considerando suposições razoáveis, a abordagem analítica definitivamente ajusta os dados da simulação numérica.

Difusão no espaço de fases - Região mista

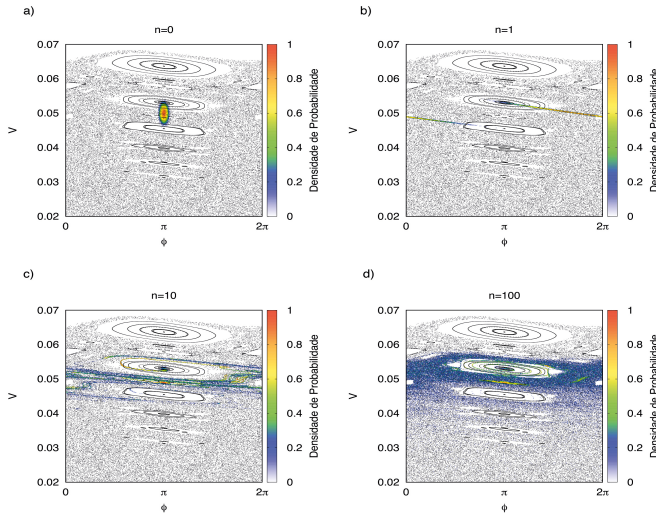


Figura 13: Processo de difusão em uma região mista do espaço de fases do modelo Fermi-Ulam.

Perspectivas

- Introduzir outro tipo de coeficiente de difusão para lidar com o comportamento anômalo da difusão ao redor de estruturas de estabilidade do espaço de fases.
- Aprimorar a estimativa para a posição da primeira curva invariante do tipo *spanning* do espaço de fases do modelo Fermi-Ulam.
- Estender a teoria apresentada para bilhares com fronteiras oscilantes.
- Uma vez estabelecida a abstração do conceito de difusão para diferentes tipos de análises, podemos imaginar e investigar novas analogias com outras áreas da física e da ciência em geral.

Agradecimentos



Referências

- [1] J. H. Poincaré. Acta Mathematica, vol. 13 (1890).
- [2] W. F. Brown Jr., Phys. Rev., vol. 130 (1963).
- [3] M. W. Evans, G. J. Evans, W. T. Coffey, P. Grigolini, Wiley (1982).
- [4] G. M. Zaslavsky, Physics Reports, vol. 371 (2002).
- [5] A. J. Lichtenberg e M. A. Lieberman, Spring Verlag (1992).
- [6] E. D. Leonel, P. V. E. McClintock, J. K. L. da Silva, Phys. Rev. Lett., vol. 93 (2004).
- [7] A. L. P. Livorati, D. G. Ladeira e E. D. Leonel, Phys. Rev. E, vol. 78 (2008).
- [8] E. D. Leonel, J. A. de Oliveira, F. Saif, J. Phys. A, vol. 44 (2011).
- [9] C. M. Bender, S. A. Orszag, Springer (1999).
- [10] F. C. Leone, L. S. Nelson, R. B. Nottingham, Technometrics, vol.3 (1961).